

## N-2 下水下向流ろ過のシミュレーション

前澤工業(株) 中央研究所 ○ 数井 徹

〃 山中正則

(財)埼玉県下水道公社 鷹野洋一

### 1. はじめに

ろ過処理において、懸濁物の除去率は、流入水の懸濁物粒子径によって異なることが、報じられている。下水深度処理の対象とする2次処理水の懸濁成分の多くは、生物処理からリークした活性汚泥のフロックであり、比較的幅広い粒子径分布をしている。このような流入水を1つの初期ろ過係数（後述③式中の $\lambda_0$ ）で処理性とろ抗の変化を模擬しても充分な結果は得られない。

本稿では、より簡便な方法でより高精度な除去率を算出する為に、懸濁成分を $10\mu m$ を境に小粒子径と大粒子径とに分け、異なる2つの初期ろ過係数を用いるという方法でシミュレーションを行った。なお、ろ過係数の変化を表す式としては、 $Ives$ の式を用いている。

### 2. 懸濁物粒子径と初期ろ過係数

表1の条件で、ろ過開始時にろ層各層より採取したサンプルをSS及びコールターカウンター（アパッチャー径 $280\mu m$ ）にて分析した結果の一例を以下に示す。

横軸に懸濁物粒子径、縦軸に体積比（球形、同密度と仮定）によるSS換算濃度をとり、各層ごとに表したものを作図1に示す。

流入水は、 $25\mu m$ がピークとなっているのに対し、ろ層が深くなるにつれピークが徐々に小さい粒子径に移行している様子が分かる。これは懸濁物粒子径により、除去率が異なることを表している。

この結果をさらに、横軸にろ層深さ、縦軸にSS濃度の対数をとってプロットして図2に示す。プロット（□-Total）は曲線的になり、後述①式に表す岩崎の式が成立しなくなっていることが分かる（岩崎の式ではプロットが直線上に載る）。そこで同じく図2に示すが、この曲線を懸濁物粒子径により $10\mu m$ 以下と $10\mu m$ 以上の2成分に分解して、それぞれの体積比によるSS換算濃度をプロットすると、両者ともほぼ直線に近づくことが分かった。即ち、初期ろ過係数（ $\lambda_0$ ）を2種類用いることにより、各々において岩崎の式が成り立つと考えた。

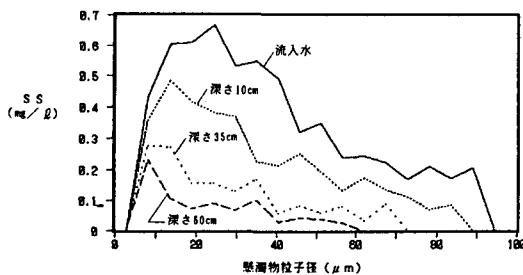


図1 懸濁物粒子径の分布

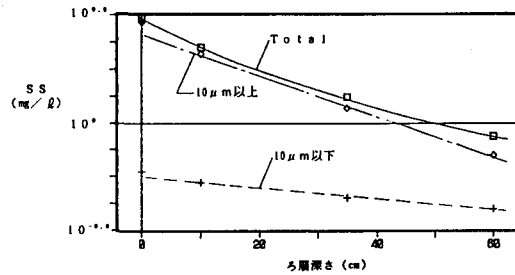


図2 各層のSS濃度

### 3. 基礎式

処理性については、岩崎の式

C : S S 濃度 ( $\text{kg}/\text{m}^3$ )

$\lambda$  : ろ過係数 (-m)

L : ろ層深さ (m)

### 及び、物質収支の式

$\sigma$  : 抑留量 ( $\text{kg}/\text{m}^3$ )

V : 空塔速度 (m/s)

t : 時間 ( s )

を用い、ろ過係数とろ抗の変化は Ives による次式を用いた。

$$\frac{\partial H}{\partial L} = \frac{\partial H_0}{\partial L} \cdot \left(1 + \beta \sigma / (1 - \varepsilon_0)\right)^z \cdot \left(1 - \beta \sigma / \varepsilon_0\right)^{2z-3} \dots \dots \dots \quad (4)$$

$\lambda_0$  : 初期ろ過係数 (-m)

$\beta$  : 膨潤率 ( $m^3/kg$ )

$\sigma_{max}$ : 最大抑留量 ( $\text{kg}/\text{m}^3$ )

$\varepsilon_0$ : 粒材空隙率 (-)

H : ろ抗 (m)

$H_p$ : 初期ろ抗 (m)

x, y, z : 係數 (-)

#### 4. シミュレーション手法

シミュレーションのフローを図3に示す(但し、ろ層は単層)。本法において $\alpha$ を2種類用いているため、抑留量も式③→①→②によって2種類算出される。しかしそ抗式④、及び次回のろ過係数式③には、2種類の和を入力して求めている。また、 $\alpha$ 以外の係数は粒子径区分に関わらず同一のものを用いている。

## 5. シミュレーションの対象としたろ過装置及び条件

シミュレーションの対象とした装置を図4に示し、ろ過条件を表1に示す。なお、本装置は実設備同様逆洗を定期的に行っている為、実際のろ層は表層においてろ材径が小さくなっていること、また、洗浄によって排出されなかった抑留物が表層に残存していること（約  $5\text{ kg/m}^2\text{-as SS}$ ）を観察している。従って、シミュレーションもこれらのことと考慮（3層及び、 $\sigma_{0,1}=5$  を初期入力）したモデルとなっている。

表1 ろ過条件

ろ過構成	1ンスルート 平均径 2.4mm-----65cm 但し、表面3cmにおいて平均径 1.75mm
	砂 平均径 0.83mm-----30cm
流入水	2次処理水 (SS : 5~10mg/l)
ろ 速	200m/day

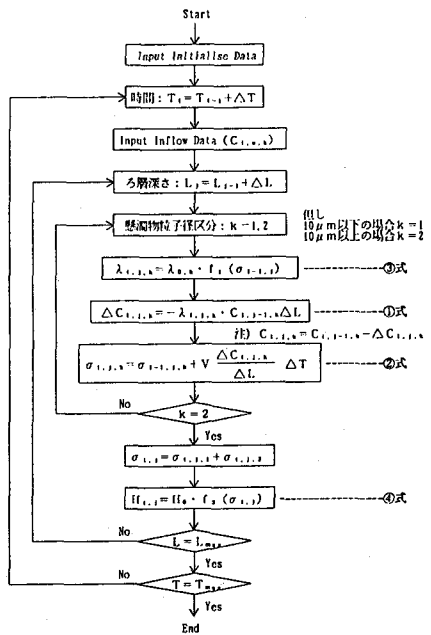
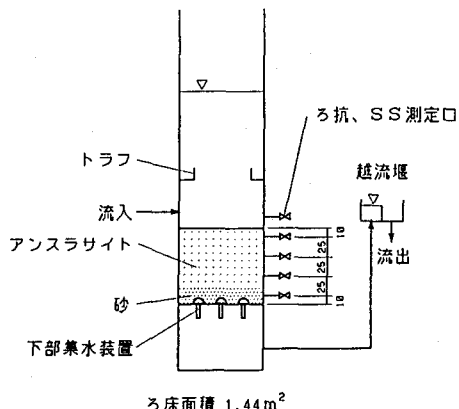


図3 シミュレーションのフロー



#### 図4 実験装置

## 6. シミュレーション結果

シミュレーション結果を2例程、実験値と合わせて図5と6、及び図7と8に示す。ここで図5、及び図7における2点鎖線は、 $\lambda_0$ を除く同一係数下での懸濁物を粒子径区分しない場合のシミュレーション結果である。処理水のSS濃度は、粒子径区分を行わないと実験値と一致しない。これに対し、2成分系とした場合はほぼ一致する。また、ろ抗についてもほぼ一致している。但し、実験値はろ層深さ10cmでブレークスルーが生じて以降も上昇し続けるという点で、水質分析上の問題が残る。

またCase1とCase2で $y$ 、及び $\sigma_{max}$ が異なるが、それぞれの $\lambda/\lambda_0$ の抑留量による変化を③式から求めて図9に示す。ここでCase1とCase2の条件として大きく異なる点は、流入水の懸濁物平均粒子径(体積平均)がCase2では $33\mu m$ であるったのに対し、Case1では $13\mu m$ とかなり小さかった。このことから小粒子成分が多い場合、少ない大粒子成分がろ材の役目をなし急激に $\lambda$ が上昇する反面、抑制物は脆くて崩れ易いと考えられる。この点についても今後の検討課題である。

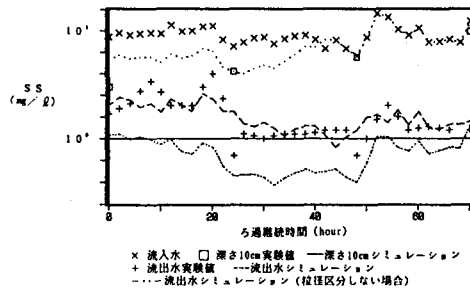


図5 SS濃度経時変化 Case1

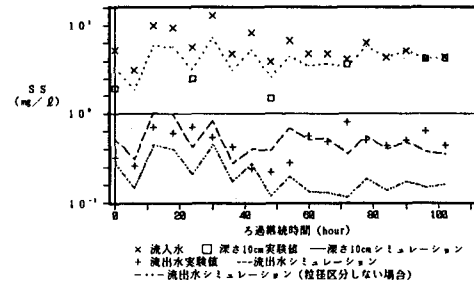


図7 SS濃度経時変化 Case2

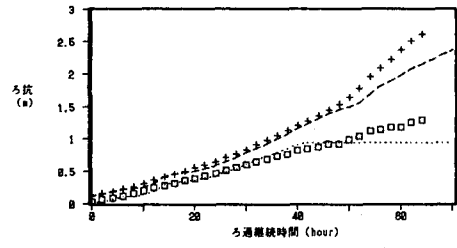


図6 ろ抗経時変化 Case1

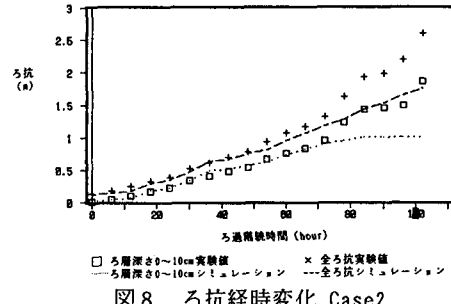


図8 ろ抗経時変化 Case2

1次粒径表層	$\lambda_{0,1}=1$	$\lambda_{0,2}=7.5$	$\varepsilon_0=0.45$	$\partial \Pi_0 / \partial L = 0.1$	$L=0.03$
2次粒径表層	$\lambda_{0,1}=0.5$	$\lambda_{0,2}=4$	$\varepsilon_0=0.45$	$\partial \Pi_0 / \partial L = 0.053$	$L=0.62$
砂層	$\lambda_{0,1}=0.7$	$\lambda_{0,2}=5$	$\varepsilon_0=0.5$	$\partial \Pi_0 / \partial L = 0.24$	$L=0.3$

Case1	$\beta=0.02$	$\sigma_{max}=8.2$	$x=0.2$	$y=8$	$z=1$
Case2	$\beta=0.02$	$\sigma_{max}=15$	$x=0.2$	$y=4.5$	$z=1$

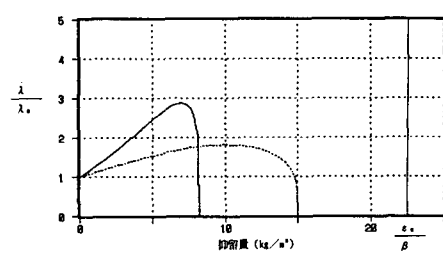


図9  $\lambda/\lambda_0$ の抑留量による変化

## 7. あとがき

以上のように、懸濁物粒子径を小粒径( $10\mu m$ 以下)と大粒径( $10\mu m$ 以上)に区分して、それぞれ独立したろ過係数を用いることにより、比較的良好にシミュレーションを行うことができた。今後はさらに、様々な条件の下での実験を行い、実用化を念頭においてシミュレーションモデルの検討を行いたい。